

## ارائه الگوریتمی هوشمند برای بخش پردازش در سیستم‌های شنود راداری

علی ناصری<sup>۱\*</sup>؛ گودرز سعادتی مقدم<sup>\*</sup>

۱- استادیار، ۲- کارشناسی ارشد، دانشگاه جامع امام حسین(ع)، دانشکده و پژوهشکده فناوری اطلاعات و ابضاط

E-mail: naseri@ict.gov.ir

(دریافت: ۸۹/۷/۶، پذیرش: ۸۹/۱۱/۲۴)

### چکیده

در این مقاله الگوریتمی هوشمند برای خوشه‌بندی، تشخیص مدولاسیون بین پالسی و جداسازی و شناسایی رشته پالس‌های متداخل را راهنمایی می‌گردد. در الگوریتم پیشنهادی برای خوشه‌بندی پالس‌های متداخل دریافتی از شبکه عصبی خودسازمانده SOFM (بدلیل دقت بالای آن در مقایسه با شبکه‌های عصبی دیگر مانند شبکه عصبی CLNN و شبکه عصبی Fuzzy ART) و تشخیص نوع مدولاسیون بین پالسی از روش ضرب ماتریسی و برای شناسایی نوع رادار از شبکه عصبی RBF استفاده شده است. نتایج بدست آمده از شبیه‌سازی الگوریتم پیشنهادی، نشان می‌دهد که با حضور ۵٪ نویز و ۵٪ پالس گمشده، بخش خوشه‌بندی الگوریتم پیشنهادی دقیق معادل ۹۱٪ است، بخش تشخیص نوع مدولاسیون بین پالسی، دقیق معادل ۹۸٪ و بخش شناسایی دقیق معادل ۹۹٪ دارد و در مجموع برآیند دقت الگوریتم پیشنهادی معادل ۸۹٪/۲۴۴ می‌باشد.

**کلیدواژه‌ها:** رشته پالس‌ها؛ روش ضرب ماتریسی؛ شناسایی رادار؛ شبکه‌های عصبی

## The Proposed Intelligent Algorithm for Process Section in the Radar Interception Systems

A. Naseri\*, G. Saadatati Moghadam

Faculty and Research Center of Communication and Information Technology, Imam Hossein University

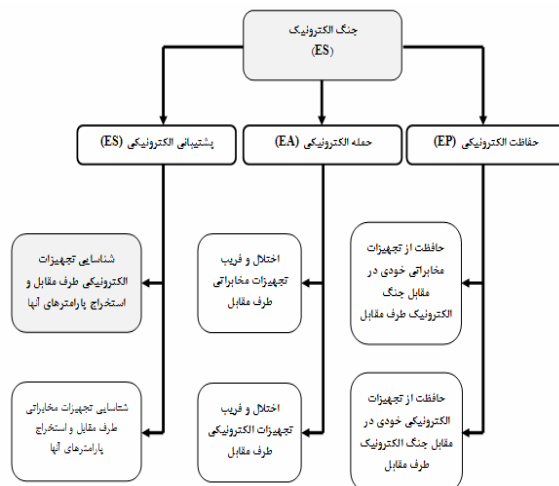
E-mail: naseri@ict.gov.ir

### Abstract

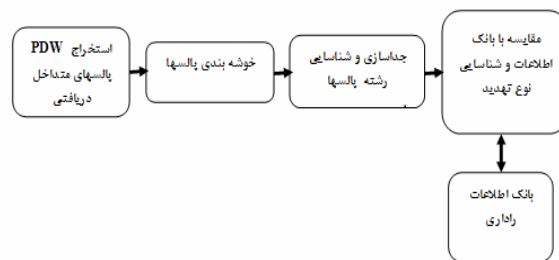
In this paper an intelligent algorithm for clustering, between pulse modulation detection and interleaved pulses train identification is offered. In the proposed algorithm, for interleave pulses received clustering from SOFM neural network (due to its high accuracy compared with other neural networks such CLNN neural network and Fuzzy ART neural network) and for between pulse modulation detection from matrix multiplication method and for radar type identification from RBF neural network is used. The results of the proposed algorithm simulation shows with the presence of 5% noise and 5% missing pulses , clustering section accuracy is equal 91.8% , between pulse modulation detection section accuracy is equal 98% and radar type identification section accuracy is equal 99.2% .thus the resultant accuracy of the proposed algorithm is 89.244%.

**Keywords:** Pulse Train; Matrix Multiplication Method; Radar Identification; Neural Networks

شبکه های عصبی با نگاشت ویژگی خودسازمانده و برای تشخیص نوع PRI و محاسبه متوسط PRI از روش ضرب ماتریسی و برای شناسایی نوع رادار، از شبکه های عصبی تابع پایه شعاعی استفاده می گردد. در بخش ۲، شبکه های عصبی خودسازمانده و تابع پایه شعاعی و در بخش ۳ الگوریتم پیشنهادی و نتیجه گیری می پردازد.



شکل ۱. جایگاه سیستم های شناسایی رادار در جنگ الکترونیک [۳]



شکل ۲. بلوك دیاگرام کلی واحد پردازش در سیستم های شناسایی رادار

## ۲. شبکه های عصبی خودسازمانده و تابع پایه شعاعی

یکی از پر کاربرد ترین شبکه های عصبی مصنوعی، شبکه های عصبی خودسازمانده<sup>۱</sup> (SONN) است. چند شبکه عصبی با ویژگی خودسازمانده تاکنون گزارش شده که سه مورد از

### ۱. مقدمه

بخش عمده ای از تجهیزات الکترونیکی نیروهای نظامی را دارا هاست، بنابراین شناسایی آن ها از اهمیت ویژه ای برخوردار است. شکل (۱)، تقسیمات کلی جنگ الکترونیک را که اخیراً با اصطلاح دفاع الکترونیکی از آن یاد می کنند، نشان می دهد [۱]. بخش عمده از سیستم هایی که برای شناسایی تجهیزات الکترونیکی دشمن استفاده می گردد، سیستم های ESM و ESM می باشند. وظیفه سیستم ESM شناسایی دقیق رادار های فعال در منطقه بصورت استراتژیک است و وظیفه سیستم ESM شناسایی بلادرنگ رادار های مستقر در تجهیزات تهدید کننده می باشد تا به وسیله آن ها بتوان نوع تهدیدات را آشکار نمود. در کل، وظیفه هر دو سامانه ESM و ELINT مشابه هم بوده و تنها در مدت زمان عملکرد با هم متفاوت می باشند. با موفقیت ها و پیشرفت های مداوم در تکنولوژی ساخت رادار های موثر و پیچیدگی بسیار زیاد نبرد منطقه ای، تاثیرگذاری سیستم های اختلال و فربیض الکترونیکی بسیار وابسته به عملکرد سیستم های شناسایی رادار می باشد، طوری که عملکرد بخش های حمله الکترونیکی (EA) و حفاظت الکترونیکی (EP) در حوزه رادارها (شکل (۱))، به طور مستقیم به عملکرد سیستم های شناسایی رادار بستگی دارد. سیستم های شناسایی رادار دارای بخش های آنتن، گیرنده، پردازشگر و نمایشگر می باشد. در این سیستم ها پردازشگر وظیفه خوشه بندی، جداسازی و شناسایی رادارها را به عهده دارد [۲]. شکل (۲)، بلوك دیاگرام واحد پردازش سیستم های ELINT و ESM را نشان می دهد. همان طور که در شکل دیده می شود، ابتدا مشخصات کلمه پالس (PDW) کلیه پالس های متداخل دریافتی در فریم زمانی مورد نظر استخراج می گردد و سپس با توجه به PDW های استخراج شده، عمل خوشه بندی روی پالس ها انجام می گیرد. بدلیل احتمال وجود رشته پالس های مختلف در خوشه ها، پردازشگر عمل جداسازی و نهایتاً شناسایی را روی پالس های هر خوشه انجام خواهد داد. اطلاعات حاصله از شناسایی رشته پالس ها و PDW های پالس ها، مبنای مقایسه با اطلاعات موجود در بانک اطلاعات راداری قرار می گیرد که با آن، نوع تهدید شناسایی خواهد شد [۳].

در الگوریتم پیشنهادی مقاله، برای خوشه بندی و جداسازی رشته پالس های متداخل دریافتی از رادار های منطقه، از

در شبکه عصبی احتمالی، زمانی که بردار ورودی به شبکه اعمال می‌شود، لایه اول فاصله بردار ورودی را از ورودی‌های آموزشی محاسبه می‌کند و به این ترتیب برداری را فراهم می‌آورد که عناصر آن، تعیین کننده میزان فاصله بین ورودی و ورودی آموزشی هستند. لایه دوم با استفاده از خروجی لایه اول برداری از احتمال‌ها را به عنوان خروجی شبکه تولید می‌کند. در نهایت،تابع انتقال رقابتی موجود در لایه دوم حداکثر مقدار احتمال‌ها را از بردار احتمال‌ها اختیار نموده، و به ازای آن خروجی ۱ و به ازای بقیه احتمال‌ها خروجی ۰ تولید می‌کند.<sup>[۸]</sup>

### ۳. الگوریتم پیشنهادی

شكل (۳) بلوک دیاگرام کلی الگوریتم پیشنهادی را نشان می‌دهد. در الگوریتم ارائه شده، پس از دریافت PDW از بخش آشکارساز و آنالایزر پالس، عمل نرمایی‌اسیون روی داده‌های ورودی انجام می‌شود تا داده‌ها را جهت اعمال به بخش خوشبندی آماده سازد. پس از خوشبندی پالس‌های ورودی به چندین خوشة، نوع مدولاسیون PRI در هر خوشه با استفاده از روش ضرب ماتریسی استخراج می‌گردد. سپس با توجه به سه پارامتر عرض پالس، فرکانس حامل و PRI، نوع رادار با استفاده از شبکه عصبی PNN تشخیص داده می‌شود. اگر مشخصات تشخیص داده شده با رادارهای موجود در آرشیو اطلاعات راداری مطابقت نداشته باشد به عنوان رادار جدید به آرشیو اطلاعات راداری اضافه می‌شود.

در ادامه، جزئیات الگوریتم پیشنهادی شامل الگوریتم بخش خوشبندی رشته پالس‌های متداخل دریافتی، الگوریتم بخش تشخیص نوع PRI و بخش جداسازی و شناسایی رادارها آمده است.

#### ۳.۱. الگوریتم بخش خوشبندی پالس‌های متداخل دریافتی

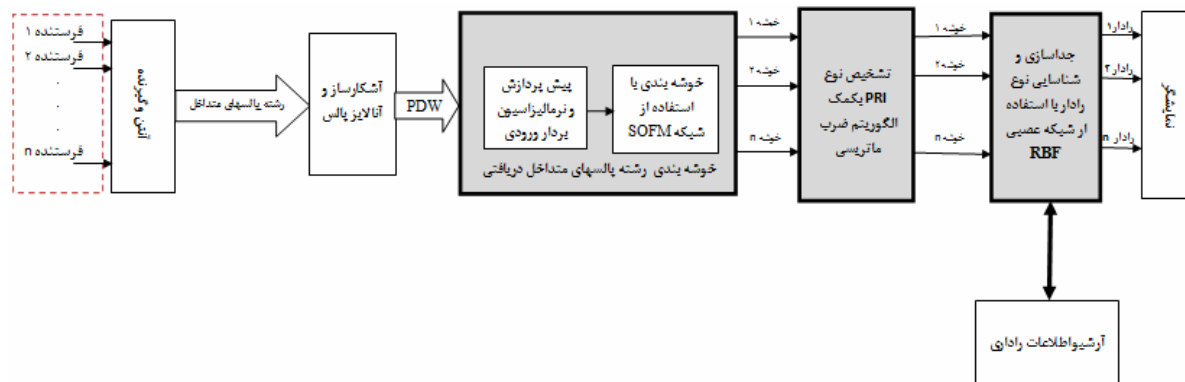
در این بخش برای خوشبندی رشته پالس‌های متداخل دریافتی، الگوریتمی هوشمند مبتنی بر شبکه‌های عصبی خودسازمانده طراحی شده است. شکل (۴) فلوچارت این بخش از الگوریتم پیشنهادی را نشان می‌دهد که در آن ابتدا سه پارامتر AOA، RF و PW از PDW انتخاب و در قسمت پیش‌پردازش و نرمایی‌اسیون یک سطر یا ستونی از ماتریس متقاضن D بصورت زیر محاسبه شده و سپس عناصر آن بین ۱ و نرماییزه می‌شود.

پرکاربردترین آن‌ها، شبکه‌های CLNN<sup>۱</sup>، SOFM<sup>۲</sup> و Fuzzy ART<sup>۳</sup> هستند.<sup>[۴]</sup> شبکه عصبی CLNN ساختاری دو لایه و پیشرو دارد؛ لایه اول کدکننده دامنه ویژگی و لایه دوم، لایه رقابتی است که نرون‌های آن طوری خود را تعمیم می‌دهند تا بتوانند بردارهای ورودی ارائه شده را تشخیص دهند.

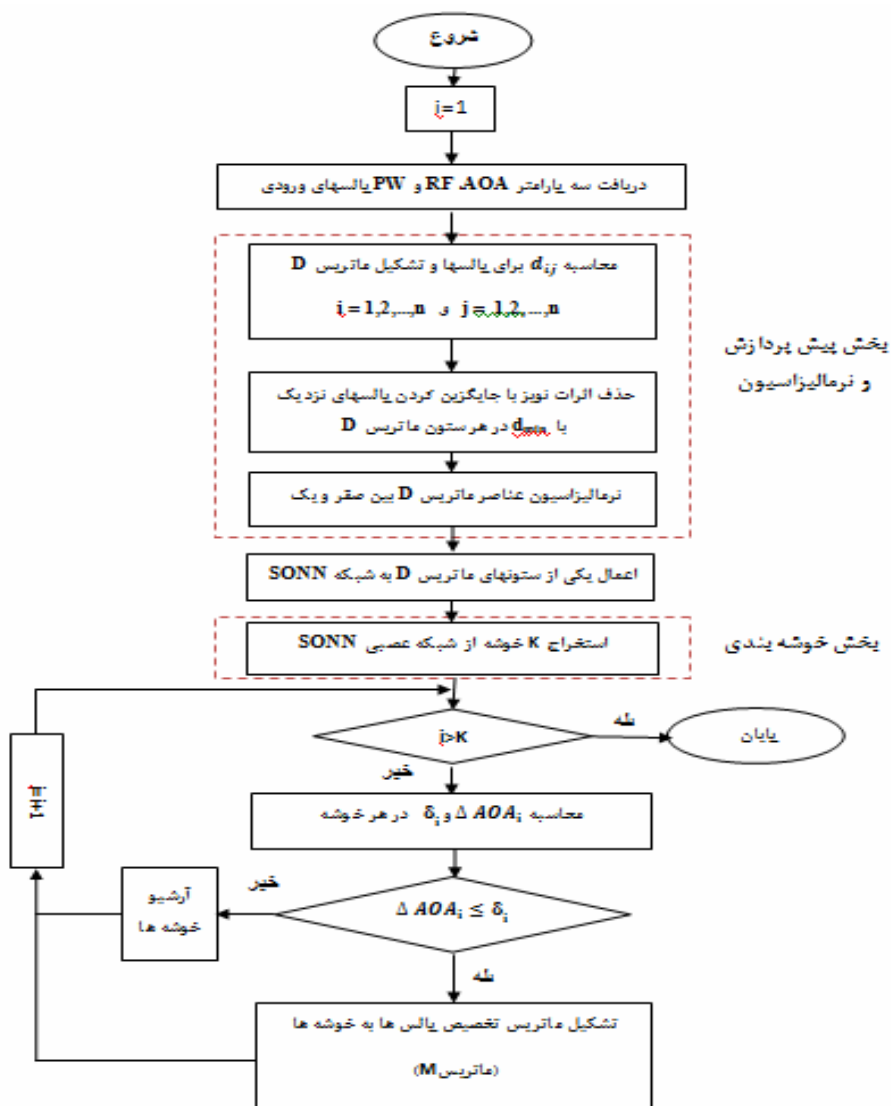
هر نرون از لایه دوم با تمام نرون‌های لایه اول توسط بردار وزن‌ها اتصال دارد. هر یک از نرون‌های لایه رقابتی در طی فرآیند رقابت توسط اتصالات محلی محرک، خود و شاید بعضی از نرون‌های همسایه را تحریک و توسط اتصالات بازدارنده، مقدار فعالیت نرون‌های دورتر را کاهش می‌دهد. در این شبکه پس از بادگیری کافی، هر نرون خروجی گویای یک خوشه و وزن‌های آن نماینده یا مرکز ثقل خوشه می‌باشد.<sup>[۴] و [۵]</sup>. شبکه عصبی SOFM شبیه شبکه CLNN می‌باشد و تنها فرق آن در این است که در آن از بایاس استفاده نمی‌شود. در این شبکه علاوه بر دسته بندی بردارهای ورودی نرون‌های همسایه نیز قسمت‌های مجاور از فضای ورودی را تشخیص می‌دهند.<sup>[۵]</sup> شبکه‌های فازی- عصبی نیز که در سال‌های اخیر توسعه داده شده‌اند از منطق گیت‌های فازی استفاده می‌کنند. شبکه Fuzzy ART نوعی از این شبکه است که تئوری محاسبه فازی را با شبکه عصبی ART1 ترکیب می‌کند و ورودی‌های باینری و آنالوگ می‌گیرد.<sup>[۶]</sup> شبکه‌های عصبی مصنوعی تابع پایه شعاعی<sup>۴</sup> شبکه‌هایی دولایه با توابع فعال‌سازی پایه شعاعی هستند که برای کاربردهای متفاوت پردازش سیگنال پیشنهاد شده‌اند.<sup>[۴]</sup>.

تابع پایه شعاعی یک تابع چندبعدی است که خروجی آن، به فاصله بین بردار ورودی و بردار مرکزی بستگی دارد. در شبکه‌های RBF تابع پایه غیرخطی می‌توانند به شکل‌های مختلف، تابع گوسی، تابع چندضلعی و ... باشند. در کاربردهای عملی، اغلب از تابع گوسی استفاده می‌شود که به شبکه‌های عصبی RBF گوسی<sup>۵</sup> مشهور است.<sup>[۷]</sup> دو نوع مختلف از شبکه‌های RBF شبکه‌های رگرسیون<sup>۶</sup> و شبکه‌های احتمالی<sup>۷</sup> هستند. از شبکه‌های رگرسیون اغلب در تخمین توابع و شبکه‌های احتمالی در مسائل دسته‌بندی استفاده می‌شود.

1. Competitive Learning Neural Network
2. Self Organizing Feature Map
3. Fuzzy Adaptive Resonance Theory
4. Radial Basis Function (RBF)
5. GRBF
6. GRNN
7. PNN



شکل ۳. بلوک دیاگرام کلی الگوریتم پیشنهادی



شکل ۴. فلوچارت بخش خواهه بندی الگوریتم پیشنهادی

- در این روش مراحل زیر انجام می‌گیرد:
- برای  $N$  پالس، خوشه ماتریس هارمونیک به صورت زیر تشکیل می‌شود:

$$HM = \begin{bmatrix} 0 & 1 & 2 & 3 & \dots & N-1 \\ 1 & 0 & 1 & 2 & \dots & N-2 \\ 2 & 1 & 0 & 1 & \dots & N-3 \\ 3 & 2 & 1 & 0 & \dots & N-4 \\ \vdots & \vdots & \vdots & \vdots & \ddots & \vdots \\ N-1 & N-2 & N-3 & \dots & 1 & 0 \end{bmatrix} \quad (4)$$

- ماتریس اختلاف زمان ورود پالس‌ها محاسبه می‌شود که یک ماتریس متقارن است.

$$\Delta TOA_{(i,j)} = |TOA_j - TOA_i|, 1 \leq i, j \leq N \quad (5)$$

$$\Delta TOA = \begin{bmatrix} 0 & d_{12} & d_{13} & d_{14} & \dots & d_{1N} \\ d_{21} & 0 & d_{23} & d_{24} & \dots & d_{2N} \\ d_{31} & d_{32} & 0 & d_{34} & \dots & d_{3N} \\ d_{41} & d_{42} & d_{43} & 0 & \dots & d_{4N} \\ \vdots & \vdots & \vdots & \vdots & \ddots & \vdots \\ d_{N1} & d_{N2} & d_{N3} & d_{N4} & \dots & 0 \end{bmatrix} \quad (6)$$

- با ضرب اختلاف زمان ورود پالس‌ها در معکوس ماتریس  $HM$ ، ماتریس تشخیص رشته پالس‌ها (PTI) بدست می‌آید.

$$PTI = \Delta TOA \times HM^{-1} \quad (7)$$

برای کاهش حجم محاسبات می‌توان بجای محاسبه ماتریس PTI، فقط عناصر قطر اصلی آن با رابطه زیر محاسبه نمود:

$$V_{PTI}(j) = \sum_{i=1}^N (\Delta TOA_{ij} \times HM^{I_{ji}}), \quad i=1, 2, \dots, N \quad (8)$$

- با بررسی عناصر بردار  $V_{PTI}$  نوع تکنیک بکار رفته در PRI مشخص می‌شود.

$$D = \begin{bmatrix} 0 & d_{12} & \dots & d_{1n} \\ d_{21} & 0 & \dots & d_{2n} \\ \vdots & \vdots & \ddots & \vdots \\ d_{n1} & d_{n2} & \dots & 0 \end{bmatrix} \quad (1)$$

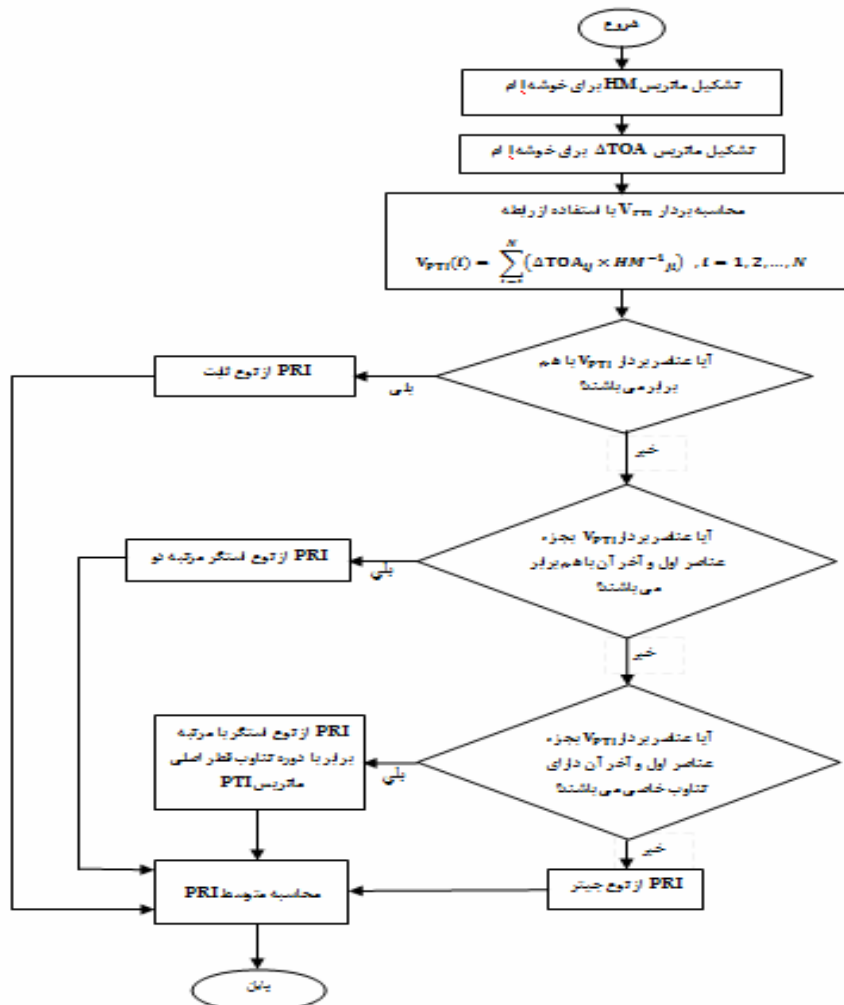
$$d_{ij} = \sqrt{\frac{(AOA_i - AOA_j)^2}{\sigma_{aoa}^2} + \frac{(PW_i - PW_j)^2}{\sigma_{pw}^2} + \frac{(RF_i - RF_j)^2}{\sigma_{rf}^2}} \quad (2)$$

مقادیر یکی از سطرها یا ستون‌های ماتریس  $D$  به شبکه عصبی SONN اعمال شده و با آموزش شبکه، خوشه‌بندی پالس‌ها انجام می‌گیرد. برای هر خوشه اختلاف زاویه ورود پالس‌ها با مقدار (مقدار با توجه به دقت لازم برای اندازه‌گیری زاویه ورود رادارها در منطقه عملیاتی انتخاب می‌گردد؛ در اینجا با توجه به دقت سیستم‌های موجود،  $2/5$  درجه در نظر گرفته شده است) مقایسه می‌گردد؛ اگر اختلاف زاویه ورود پالس‌ها از کمتر بود، برای آن خوشه ماتریس  $M$  بصورت رابطه (3) محاسبه می‌گردد و اگر بیشتر باشد آن خوشه آرشیو خواهد شد. سپس برای تک‌تک خوشه‌های آرشیو، الگوریتم احرا شده و این فرایند تا وقتی که تعداد خوشه‌های آرشیو به صفر برسد، ادامه پیدا خواهد کرد.

$$M = \begin{bmatrix} c_1 & c_2 & c_3 & \dots & c_K \\ p_1 & 1 & 0 & 0 & \dots & 0 \\ p_2 & 0 & 0 & 1 & \dots & 0 \\ p_3 & 0 & 0 & 0 & \dots & 1 \\ p_4 & 0 & 1 & 0 & \dots & 0 \\ \vdots & \vdots & \vdots & \vdots & \ddots & \vdots \\ p_M & 0 & 0 & 1 & \dots & 0 \end{bmatrix} \quad (3)$$

### ۳-۲. الگوریتم بخش تشخیص نوع PRI الگوریتم پیشنهادی

بعد از پایان فرآیند خوشه‌بندی، خوشه‌های بدست آمده وارد بخش تشخیص مدولاسیون بین پالسی و محاسبه متوسط PRI می‌شوند. در این بخش از روش ضرب ماتریسی به شرح زیر استفاده می‌گردد هدف آن، تشخیص تکنیک‌های PRI ثابت، PRI استگر و PRI جیتر و محاسبه متوسط PRI خوشه‌ها می‌باشد.



شکل ۵. فلوچارت بخش تشخیص نوع PRI الگوریتم پیشنهادی

که در آن PDW برای پالس زام مربوط به خوشة نام به صورت رابطه (۱۰) تعریف می‌گردد:

$$\begin{aligned} & RFj(i) \\ PDW_j(i) & = PWj(i) \\ & PRIj(i) \end{aligned} \quad (10)$$

در نتیجه برای m خوشه بردار کلمه توصیف‌کننده پالس به صورت زیر می‌باشد:

$$V_{PDW} = [V_{PDW}(1) \quad V_{PDW}(2) \quad \dots \quad V_{PDW}(m)] \quad (11)$$

### ۳-۳. الگوریتم بخش جداسازی و شناسایی الگوریتم پیشنهادی

اولین مرحله برای شناسایی نوع رادار توسط شبکه عصبی (PNN) تشکیل بردار کلمه توصیف‌کننده پالس ( $V_{PDW}$ ) می‌باشد. برای تشکیل بردار  $V_{PDW}$  از سه پارامتر ذاتی رادار (RF, PRI, PW) استفاده می‌شود [۱۰]. بردار  $V_{PDW}$  برای خوشة نام با N پالس دریافتی بصورت زیر تشکیل می‌شود.

$$V_{PDW}(i) = [PDW_1(i) \quad PDW_2(i) \quad \dots \quad PDW_N(i)] \quad (9)$$

#### ۴. دلایل انتخاب شبکه‌های عصبی و ارزیابی الگوریتم پیشنهادی

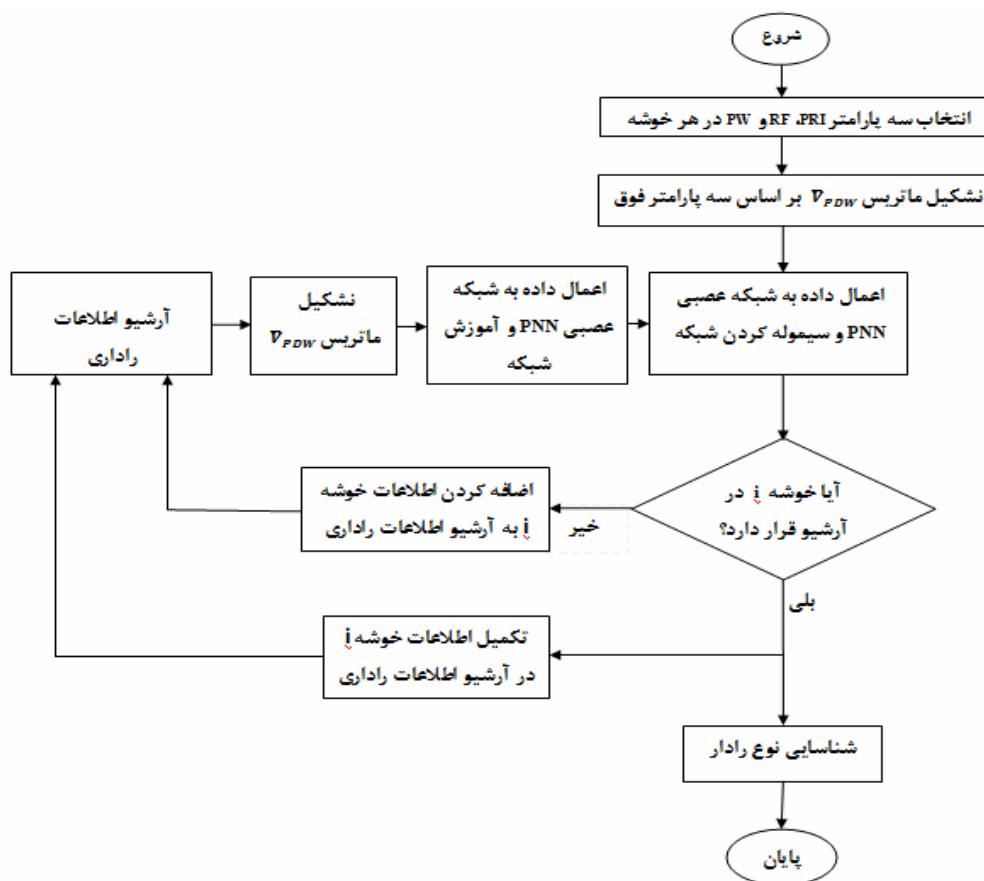
##### (الف) انتخاب شبکه عصبی SOFM و ارزیابی بخش خوشبندی

از بین شبکه‌های عصبی خودسازمانده پرکاربرد (CLNN)، Fuzzy ART و SOFM، باید مناسب‌ترین برای بخش خوشبندی الگوریتم پیشنهادی انتخاب می‌گردد. بدین منظور، ابتدا این شبکه‌ها با استفاده از نرم‌افزار MATLAB، شبیه‌سازی شده و سپس داده‌های تولیدی سه پارامتر AOA، RF و PW از پنج رادار، با مشخصات جدول (۱) به آن‌ها اعمال گردید. این سه شبکه در الگوریتم پیشنهادی برای بخش خوشبندی قرار گرفته و از نظر دقیق خوشبندی (خطا) و زمان همگرایی مقایسه شدند.

سپس میانگین بردار  $V_{PDW}$  برای  $m$  خوشبندی به صورت زیر محاسبه می‌گردد:

$$\bar{V}_{PDW} = \frac{\overline{RF1}}{\overline{PW1}} \quad \frac{\overline{RF2}}{\overline{PW2}} \quad \dots \quad \frac{\overline{RFm}}{\overline{PWm}} \quad (12)$$

برای یادگیری شبکه عصبی مذکور ابتدا ماتریس  $\bar{V}_{PDW}$  مربوط به کلیه رادارهای موجود در آرشیو اطلاعات راداری محاسبه و به شبکه آموزش داده می‌شود. برای خوشبندی ورودی نیز ماتریس  $\bar{V}_{PDW}$  محاسبه شده و جهت تشخیص به شبکه اعمال می‌گردد. شبکه با مقایسه ماتریس  $\bar{V}_{PDW}$  خوشبندی ورودی با آنچه آموزش دیده است، نوع رادار متناظر با هر خوشبندی را شناسایی می‌نماید. شکل (۶) فلوچارت این بخش از الگوریتم پیشنهادی را نشان می‌دهد.



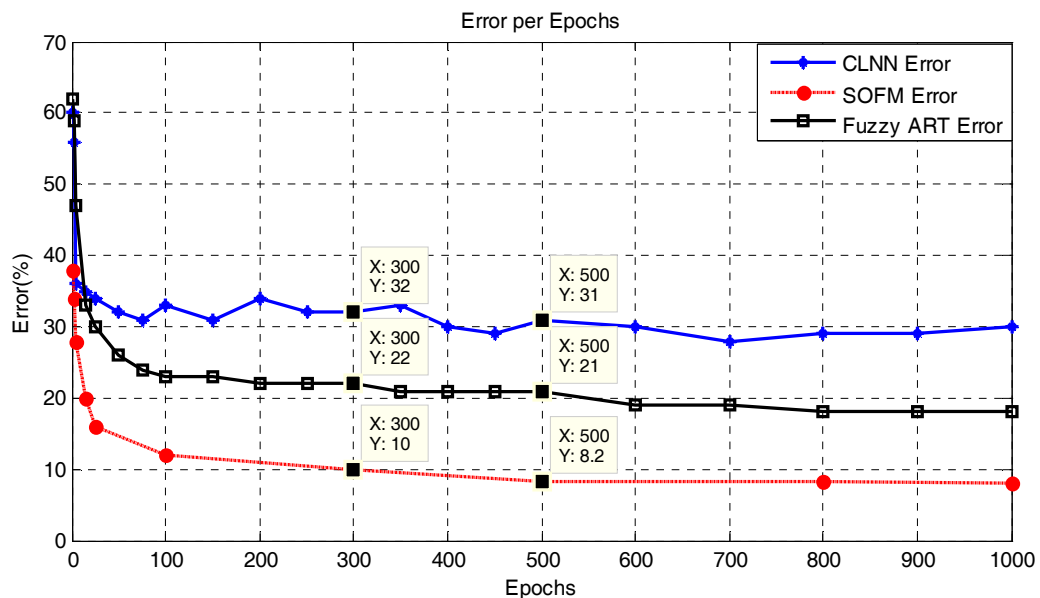
شکل ۶. فلوچارت بخش شناسایی الگوریتم پیشنهادی

جدول ۱ پنج رادار با قابلیت های مختلف

رادار	AOA (deg)	RF (MHz)	PW (μs)	PRI (μs)	PA (dB)	PRI Type	RF Type
۱	۳۲	۲۷۸۰	۳/۱	۲۳۰۰	۱۰	Stable	Stable
۲	۳۸	۲۸۸۷	۲/۷	۲۶۰۰ ۲۸۰۰ ۲۹۰۰	۲۸	مرتبه ۳ Stagger	Stable
۳	۴۵	۲۶۷۰	۱/۳	۳۰۰۰	۱۴	Jitter	Stable
۴	۳۵	۲۵۰۰	۰/۸	۲۷۰۰	۴۵	Stable	Jump
۵	۴۸	۲۷۱۲	۰/۲۳	۳۱۰۰	۳۷	Stable	Agile

همان طور که مشاهده می شود، خطای شبکه عصبی SOFM کمتر است، لذا این شبکه برای بخش خوشبندی الگوریتم پیشنهادی انتخاب گردید. با توجه به جدول (۲)، بخش خوشبندی الگوریتم پیشنهادی با انتخاب شبکه عصبی SOFM و برای ۵۰۰ بار تکرار آموزش دارای دقت حدود ۹۱/۸٪ (خطای ۰/۸٪) است.

شکل (۷) خطای سه شبکه مذکور را به ازای تکرارهای مختلف آموزش نشان می دهد. همان طور که دیده می شود، شبکه ها از ۳۰۰ تکرار به بعد تقریبا همگرا شده اند. برای ۳۰۰ بار تکرار آموزش، خطای شبکه ها و زمان لازم برای آموزش که زمان همگرایی است و نشان دهنده پیچیدگی محاسباتی می باشد، در جدول (۲) آمده است (این محاسبه توسط کامپیوتر پنتیوم ۴ با ۲ گیگا بایت RAM انجام شده است).

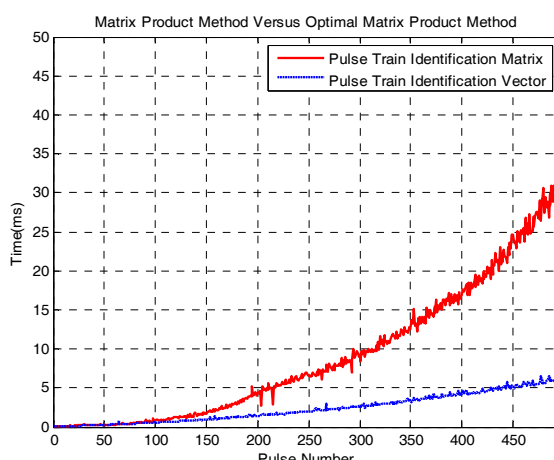


شکل ۷. مقایسه خطای شبکه های عصبی CLNN و SOFM و Fuzzy ART

جدول ۲. خطای خروجی و زمان آموزش شبکه‌های خودسازمانده در بخش خوشه‌بندی الگوریتم پیشنهادی

زمان لاز برای ۵۰۰ بار تکرار آموزش (S)	خطا بعد از ۵۰۰ بار تکرار آموزش	زمان لاز برای ۳۰۰ بار تکرار آموزش (S)	خطا بعد از ۳۰۰ بار تکرار آموزش	نوع شبکه خودسازمانده
۷۸	٪۸،۲	۴۵	٪۱۰	SOFM
۲۵	٪۲۱	۱۵	٪۲۲	Fuzzy ART
۱۱	٪۳۱	۶	٪۳۲	CLNN

همان‌طور که مشاهده می‌شود، عناصر بدست آمده برای بردار  $V_{PTI}$  همان عناصر قطر اصلی ماتریس PTI می‌باشد. اما، زمان محاسبه بردار  $V_{PTI}$  به مراتب کمتر از محاسبه ماتریس PTI است. شکل (۸) زمان محاسبه بردار  $V_{PTI}$  و ماتریس PTI را به‌ازای تعداد پالس‌های ورودی مختلف نشان می‌دهد (محاسبات توسط کامپیوتر پنتیوم ۴ با ۲ گیگابایت RAM). همان‌طور که در این شکل دیده می‌شود، هنگامی که تعداد پالس‌های ورودی زیاد است، محاسبه بردار  $V_{PTI}$  در مقایسه با ماتریس PTI زمان محاسبات بسیار کمتری دارد.

شکل ۸. مقایسه زمان محاسبه بردار V<sub>PTI</sub> و ماتریس PTI

(ب) ارزیابی بخش تشخیص نوع مدولاسیون بین‌پالسی برای ارزیابی این بخش از دیتا تولیدی جدول (۱) استفاده شده است. برای داده‌های تولید شده از زاویه ورود و عرض پالس‌ها، تغییرات به صورت نویز گوسی با واریانس ۵٪ اضافه شده است. برای داده‌های مربوط به فرکانس بر اساس نوع تکنیک تغییر فرکانسی واریانس‌ها متفاوت می‌باشد. واریانس تغییرات در رادارهای فرکانس ثابت ۵٪، در رادارهای با قابلیت پرش فرکانسی ۱۰٪ (Frequency Jumping) و در رادارهای با قابلیت تغییر فرکانسی سریع (Frequency Agility) ۳۰٪ انتخاب شده است. برای داده‌های تولید شده از پارامتر PRI واریانس تغییرات در رادارهای با تکنیک PRI ثابت ۵٪، تکنیک PRI استگر ۱٪ و تکنیک PRI جیتر ۳۰٪ در نظر گرفته شده و داده‌های تولید شده با در نظر گرفتن ۵٪ پالس گمشده، به الگوریتم ضرب ماتریسی اعمال گردید. با اجرای ۱۰۰۰ بار الگوریتم مذکور و محاسبه میانگین خطاهای، دقیق‌ترین مذکور ۹۸٪ بدست آمد.

در این بخش، بجای محاسبه ماتریس شناسایی رشته پالس‌ها (PTI)، فقط محاسبه عناصر قطر اصلی آن (بردار شناسایی رشته‌پالس‌ها ( $V_{PTI}$ ) با رابطه (۸) پیشنهاد شده است. برای مقایسه زمان محاسبه این دو رابطه، رشته‌پالسی با  $PRI=10$  و  $N=8$  با شرایط ۵٪ پالس گمشده و ۵٪ خطای تولید و ماتریس  $V_{PTI}$  بردار آن بصورت زیر محاسبه گردید.

$$PTI = \begin{bmatrix} 10.0470 & 0.0658 & 0.0280 & 0.0494 & 0.0124 & 0.0167 & 0.0304 & 0.0014 \\ 0.0131 & 9.9942 & 0.0280 & 0.0494 & 0.0124 & 0.0167 & 0.0304 & 0.0014 \\ 0.0131 & 0.0658 & 9.9564 & 0.0494 & 0.0124 & 0.0167 & 0.0304 & 0.0014 \\ 0.0131 & 0.0658 & 0.0280 & 10.0337 & 0.0124 & 0.0167 & 0.0304 & 0.0014 \\ 0.0131 & 0.0658 & 0.0280 & 0.0494 & 10.0708 & 0.0167 & 0.0304 & 0.0014 \\ 0.0131 & 0.0658 & 0.0280 & 0.0494 & 0.0124 & 10.0752 & 0.0304 & 0.0014 \\ 0.0131 & 0.0658 & 0.0280 & 0.0494 & 0.0124 & 0.0167 & 10.0615 & 0.0014 \\ 0.0131 & 0.0658 & 0.0280 & 0.0494 & 0.0124 & 0.0167 & 0.0304 & 10.0325 \end{bmatrix}$$

$$V_{PTI} = [10.0470 \quad 9.9942 \quad 9.9564 \quad 10.0337 \quad 10.0708 \quad 10.0752 \quad 10.0615 \quad 10.0325]$$

جهت شناسایی می باشد. همان طور که در شکل (۱۰) دیده می شود، نقاط حاصل از سه رadar اعمالی (نقاط ستاره) نزدیک نقاط یادگیری از رadarهای ۳، ۱۲ و ۱۷ می باشد، پس نتیجه می گیریم که ۳ radar درست تشخیص داده شده اند. نتایج حاصل از شبیه سازی های مونت کارلو با ۱۰۰۰ بار تکرار نشان داد که روش پیشنهادی برای شناسایی رشته پالس های جداسازی شده با ۵٪ خطأ و ۵٪ پالس گمشده، دقیق حدود ۹۹/۲٪ دارد.

جدول ۳. مشخصات رadarهای موجود در آرشیو

RF (MHz)	PW (μs)	PRF (Hz)	نوع رadar
۱۰۰۰	۲	۵۰۰	رادار ۱
۱۵۰۰	۴	۳۰۰	رادار ۲
۲۵۰۰	۲۰	۸۵۰	رادار ۳
۳۰۰۰	۱.۲	۱۵۰۰	رادار ۴
۳۵۰۰	۲۰	۸۰۰	رادار ۵
۳۰۰۰	۱	۷۰۰	رادار ۶
۲۸۰۰	۱۰۰	۹۰۰	رادار ۷
۴۰۰۰	۳۶	۲۳۰	رادار ۸
۵۰۰۰	۳.۳	۵۰۰	رادار ۹
۵۱۵۰	۱.۲	۲۸۰۰	رادار ۱۰
۸۰۰۰	۳	۵۰۰	رادار ۱۱
۹۰۰۰	۱.۵	۶۰۰۰	رادار ۱۲
۲۰۰۰۰	۰.۴	۲۰۰	رادار ۱۳
۲۰۰۰۰	۰.۰۲	۳۰۰	رادار ۱۴
۱۸۰۰۰	۱۰	۳۰۰۰	رادار ۱۵
۳۳۰۰۰	۰.۱۴	۲۴۰۰	رادار ۱۶
۱۶۲۰۰	۱.۱	۶۷۵	رادار ۱۷
۱۸۰۰۰	۰.۰۲	۳۰۰	رادار ۱۸
۱۳۰۰۰	۰.۰۲	۳۰۰	رادار ۱۹
۴۳۰۰	۳	۴۰۰	رادار ۲۰

#### ج) انتخاب شبکه عصبی PNN و ارزیابی بخش شناسایی نوع رadar

شبکه عصبی PNN، نوعی از شبکه عصبی RBF است که در مقایسه با شبکه های عصبی پرسپترون چند لایه<sup>۱</sup> و سایر شبکه های با نظارت، دارای سرعت آموزش بالا بوده و برای کاربردهای پردازش بلادرنگ مناسب است. همچنین، در صورت از دیده داده های آموزشی، کارایی بهتری نسبت به شبکه MLP [۱۰ و ۱۱]. با توجه ویژگی های ذکر شده، شبکه عصبی PNN به شبکه عصبی MLP ترجیح داده شده و برای بخش شناسایی الگوریتم پیشنهادی انتخاب گردید.

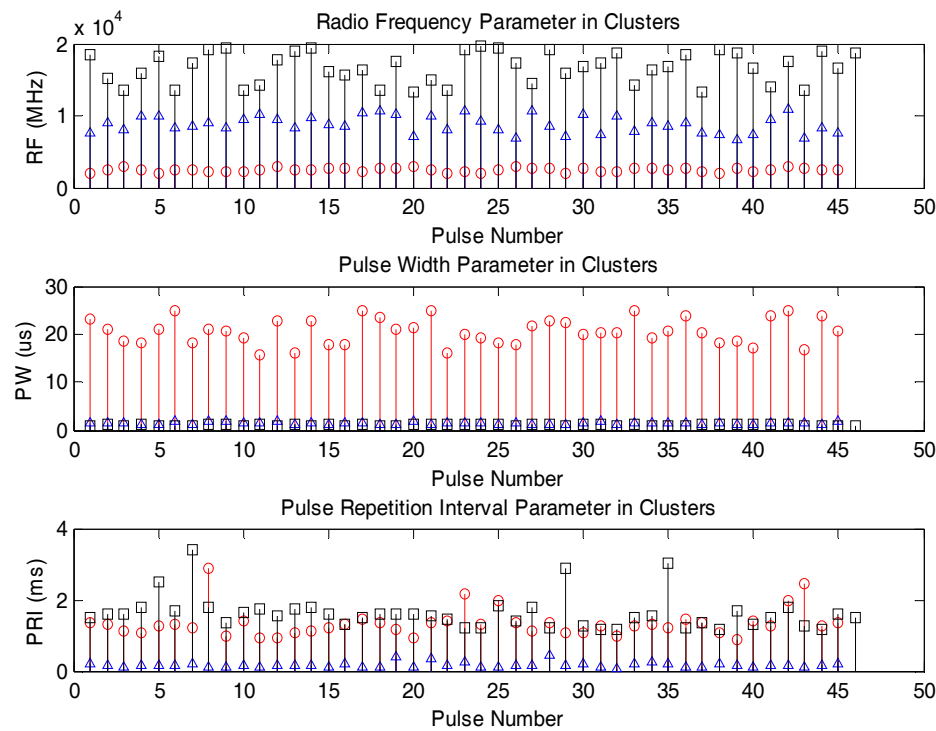
برای ارزیابی بخش شناسایی الگوریتم دیتا تولیدی شامل پارامترهای RF، PW و PRI، ۲۰ radar عملی با مشخصات جدول (۳) به شبکه عصبی PNN اعمال شده و شبکه آموزش داده می شود. بعد از آموزش اطلاعات ۲۰ radar جدول (۳) به شبکه، می توان با معرفی بردارهای ورودی جدید، دسته مربوط به آنها را تشخیص داد. بدین منظور، بردار ورودی جدید به شبکه PNN اعمال و نتایج آن مورد بررسی قرار می گیرد. طوری که به هر radar موجود در آرشیو نزدیک تر باشد آن radar بعنوان radar مورد نظر اعلام می گردد، و در صورتی که فاصله از حدی بیشتر باشد، بعنوان radar جدید در نظر گرفته شده و مشخصات آن به آرشیو اطلاعات radarی اضافه می شود.

برای نشان دادن این موضوع، رشته پالس ۳ radar جدول (۲)، با اعمال ۱۰٪ خطأ و ۱۰٪ پالس گمشده تولید (جدول (۴)) و به شبکه عصبی PNN اعمال شد. داده های تولیدی از سه radar در شکل (۹) نشان داده شده است.

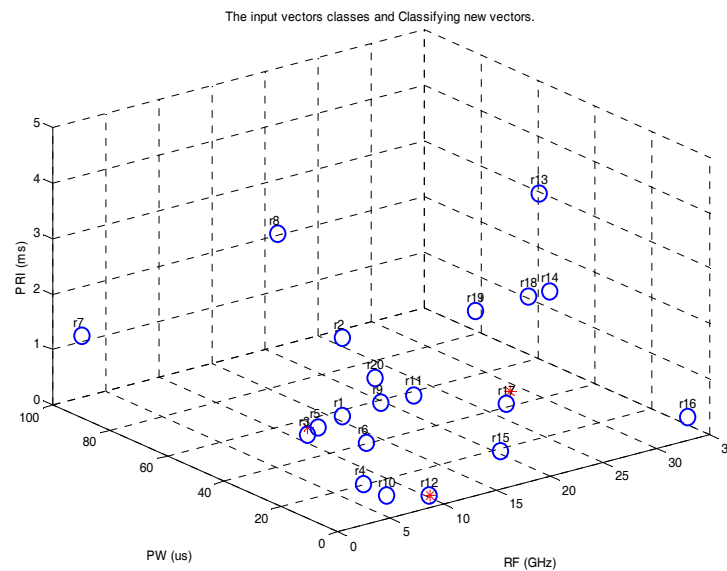
نتایج حاصل از یادگیری (۲۰ radar جدول (۳)) و اعمال رشته پالس های سه radar جدول (۴) به شبکه عصبی PNN در شکل (۱۰) نشان داده شده است. در شکل مذکور نقاط دایره مربوط به دسته بندی ۲۰ radar و نقاط ستاره مربوط به سه radar اعمالی

جدول ۴. مشخصات ۳ radar عملی جهت ارزیابی الگوریتم بخش شناسایی الگوریتم پیشنهادی

شماره radar در جدول ۳	RF (MHz)	PW (μs)	PRF (Hz)	PRF Type
۳	2000-3000	20	850	Constant
۱۲	8600-95 00	1.5	4800 – 8100	3 Order Staggered
۱۷	16000-16400	1.1	674	Constant



شکل ۹. داده‌های تولید شده از سه رادار جهت اعمال به بخش شناسایی



شکل ۱۰. خروجی شبکه RBF بعد از یادگیری رادارهای آرشیو و شناسایی رادارهای جدید

نوع مدولاسیون بین پالسی، بدلیل استفاده از روش ضرب ماتریسی و امکان پیداهسازی آن با آرایه سیستولیکی، سرعت پردازش این بخش برای سیستم های بلادرنگ مناسب می باشد. در الگوریتم پیشنهادی، دقت بخش خوشه بندی ۹۱/۸، دقت بخش تشخیص نوع مدولاسیون بین پالسی برای یک رشته پالس با ۵٪ پالس گمشده و ۵٪ نویز حدود ۹۸٪ و دقت بخش شناسایی برای یک رشته پالس با ۵٪ پالس گمشده و ۵٪ نویز حدود ۹۹/۲٪ است. در حالت کلی، برآیند دقت الگوریتم پیشنهادی ۸۹/۲۴۴٪ می باشد.

## ۶. مراجع

- [1] Stimson, G. W. "Introduction to Airborne Radar."; Artech House, Second Edition, 1998.
- [2] Wiley, R. G. "Electronic Intelligence: The Analysis of Radar Signals."; 2nd Edition, Artech House, Inc., 1993.
- [3] Hassan, A.; Chan, F.; Chan, Y. T. "Joint Deinterleaving and Recognition of Radar Pulses."; Radar Conference 2003, IEEE, 177-181.
- [4] Hu, Y. Hen; Hwang, J. Neng "Handbook of Neural Network Signal Processing."; Artech House, 2002.
- [5] Savaria, Eric; Lavoie, Pierre "A Comparison of Self-Organizing Neural Networks for Fast Clustering of Radar Pulses."; Published by Elsevier Science B.V. 1998, Signal Processing 64, 249-269.
- [6] Kenaya, Riyadah "Eucliden ART Neural Networks."; Proceedings of the World Congress on Engineering and Computer Science, WCECS 2008, San Francisco.
- [7] Zhao, Chuang; Zhao, Yongjun; Lu, Jianqi "Radar Signals Sorting with Kohonen Neural Network."; 8th Signal Processing International Conference 2006, IEEE, 16-20.
- [8] ANDERSON, J. A.; GATELY, M. T. "Radar Signal Categorization Using a Neural Network."; Signal Processing International Conference 1990, IEEE, 78(10).
- [9] Mardia, H. K. "New Techniques for the Deinterleaving of Repetitive Sequences."; Radar Conference 1989, IEE Proc., 136(4), 149-154.
- [10] Dudczyk, J.; Kawalec, A.; Cyrek, J. "Applying the Distance and Similarity Functions to Radar Signals Identification."; International Radar Symposium 2008, 1-4.
- [11] ناصری، علی، نادری، مجید، شهریار شاه‌حسینی، هادی "استفاده از تکه بندهای ماتریسی و پردازش سیستولیکی برای شناسایی رادارها"، نشریه دانشکده مهندسی دانشگاه علم و صنعت، سال پانزدهم، شماره دوم، ص. ۱۵۳ تا ۱۷۰، سال ۱۳۸۲.

## ۵) نتایج ارزیابی الگوریتم پیشنهادی

با توجه به ارزیابی های صورت گرفته، دقت بدست آمده با روش های آماری برای بخش های مختلف الگوریتم پیشنهادی بصورت جدول (۵) می باشد.

جدول ۵. دقت بخش های مختلف الگوریتم پیشنهادی

نام بخش	دقت معادل
بخش خوشه بندی با استفاده از شبکه عصبی SOFM	٪۹۱/۸
بخش تشخیص نوع مدولاسیون بین پالسی با استفاده از روش ضرب ماتریسی	٪۹۸
بخش شناسایی نوع رادار با استفاده از شبکه عصبی PNN	٪۹۹/۲

با توجه به جدول (۵)، برای شناسایی رادارهای با مدولاسیون های بین پالسی استگر و جیتر، قابلیت پرش فرکانسی با اعمال ۵٪ خطا و ۵٪ نویز برآیند، دقت الگوریتم پیشنهادی ۸۹/۲۴۴٪ می باشد.

جدول (۶) زمان عملکرد الگوریتم پیشنهادی را نشان می دهد. همان طور که مشاهده می شود، کل زمان انجام الگوریتم تقریباً ۴ میلی ثانیه است که زمان خوبی برای تجهیزات عملیاتی می باشد.

جدول ۶. زمان اجرای الگوریتم پیشنهادی

نام بخش	زمان (میلی ثانیه)
بخش خوشه بندی با استفاده از شبکه عصبی SOFM	۲
بخش تشخیص نوع مدولاسیون بین پالسی با استفاده از روش ضرب ماتریسی	۱
بخش شناسایی نوع رادار با استفاده از شبکه عصبی PNN	۱

## ۵. نتیجه گیری

در سیستم های شناسایی رادار، پردازشگر، باید کم ترین حساسیت را نسبت به تغییرات عمده پارامترهای پالس داشته باشد که در این میان، پارامتر TOA بیشترین سهم را دارد. برخلاف اغلب روش ها، الگوریتم پیشنهادی از این پارامتر در خوشه بندی و جداسازی استفاده نمی کند. در بخش تشخیص